

国 鉄 正員 ○三浦 重

東大工学部 正員 西野文雄

東大工学部 正員 奥村誠惠

序 構造用圧縮材として中心圧縮を受ける柱の強度に関する研究は、過去多くの理論的、実験的研究が行なわれてきた。これらの研究を通じて、柱の強度、あるいは耐荷力に影響を与える諸要素の評価が、定性的にも定量的にも精確なものとなりつつある。しかしながら実際の構造物に使用される柱、あるいは、実験に供される柱では柱自体に含まれる不完全性、あるいは、製作上、実験上の誤差等により、その耐力に大きな影響を受けることが予想される。柱に含まれるいわゆる不完全性が、柱の耐荷力におよび影響をより精確に評価することにより、設計基準に含まれた不確定要素を逐次除去し、さらに合理的な設計基準を確立出来ることであろう。ここでは偏心および残留応力が柱の耐力におよぼす影響を実験的に確認することを目的とし、実験柱に出来ただけ忠実な計算を行なってこれを裏付けた。

実験 実験の目的は溶接柱の細長比、降伏応力度、残留応力、荷重の偏心等がその耐力に与える影響を正しく評価することにある。とりわけ本実験では残留応力、偏心のいわゆる二次的な影響を精確に評価することを目的とした。実験柱は使用鋼材により3つのシリーズに分けられる。細長比、降伏応力、残留応力の影響を総合的に表わす結果が得られるよう、各シリーズ二種の細長比に対する

表 1 実験の詳細および結果

実験の詳細			実験結果		計算結果		計算結果との比較	
断面	柱番号	柱長さ L (mm)	細長比 L/r	偏心量 柱長さ P _u (ton)	P _u P _y	P _u 残留応力/全 残留応力無	P _u P _y	P _u P _y
	A30-0	3,800	30	—	159	0.875	—	1.000
	A30-1	"	"	0.001	720	0.852	0.866	0.945
	A30-3	"	"	0.003	678	0.810	0.807	0.840
	A30-5	"	"	0.005	670	0.766	0.758	0.800
	A50-0	4,660	50	—	623	0.767	0.871	1.000
2R 240×12 (WEL-TEN 80C)	A50-1	"	"	0.001	634	0.705	0.719	0.777
	A50-3	"	"	0.003	551	0.624	0.604	0.643
	A50-5	"	"	0.005	566	0.562	0.560	0.588
	B40-0	4,040	43	—	422	0.882	—	1.000
	B40-1	"	"	0.001	382	0.803	0.786	0.911
	B40-3	"	"	0.003	355	0.288	0.725	0.801
	B40-5	"	"	0.005	305	0.647	0.670	0.720
	B70-0	6,520	70	—	325	0.682	0.727	1.000
2R 240×12 (YES 36B)	B70-1	"	"	0.001	284	0.601	0.596	0.702
	B70-3	"	"	0.003	254	0.531	0.498	0.566
	B70-5	"	"	0.005	219	0.447	0.438	0.475
	H30-0	2,800	30	—	586	0.931	—	—
	H30-1	"	"	0.001	580	0.740	—	—
	H30-3	"	"	0.003	574	0.854	—	—
	H30-5	"	"	0.005	535	0.844	—	—
	H50-0	4,660	50	—	600	0.884	—	—
2R 240×12 (WEL-TEN 80C)	H50-1	"	"	0.001	565	0.803	—	—
	H50-3	"	"	0.003	467	0.696	—	—
	H50-5	"	"	0.005	433	0.646	—	—

 P_y : 断面の降伏荷重 P_u^* : 残留応力を有する柱の耐荷力計算値。 P_u^{**} : 残留応力を含む柱の耐荷力計算値。

て、各々、偏心を4種に変化させ、合計24本の柱に対して両端ピン支持の条件で実験を行なった。これら実験の詳細を表1に示す。この実験では柱の曲げによる崩壊のみを考慮し、接り座屈、局部座屈は生じないよう箱形断面を選び、断面構成板の中厚比は20とした。断面は溶接により組立て各シリーズとも同一の断面の柱について実験した。使用鋼材はAシリーズに鋼質80キロ鋼、WEL-TEH 80 C、Bシリーズに非鋼質50キロ鋼、YES 36 Bを使用した。Hシリーズはこれら二種の鋼材の混用柱とし、曲げの軸に平行な板L:80キロ鋼、曲げの軸に直角な板L:50キロ鋼を用いた。柱の長さは、その耐荷力が種々の不完全性の影響を、最も受けやすいとされる長さ、即ち、オイラー荷重が降伏荷重と等しくなる長さ、及びその約6割の長さを選んだ。表1に示すように、偏心量は、柱長に対する一定の割合で変化させた。両端ピンの支持条件を実現するための装置として端クロックに、回転半径250mm、長さ600mmの半シリング状のローラーを使用した。又、この端クロックには、加压板とローラーを、座屈軸と直角方向に相互に移動させるためのスクリュー式の微動装置が付いており、載荷量を調整できようになっている。又、テーパーの付いた二枚のディスクを相互に回転させることにより荷重の不均一を取り除くことが出来る。これらの装置により、中心圧縮状態を実現し、偏心量を正確に与えることが可能となり。実験に先立ち、この端部クロックを使用し柱の耐荷力に影響をおぼえないと考えられる範囲内で出来ただけ大きな荷重をかけ、この時に生じる柱断面内主要部でのひずみの大きさ、および柱中央部での横たわせが最大になると想定して、この状態を中心圧縮と考えた。偏心を与えるには、この状態を基準とし、上下端での移動量をほぼ同一に保つ、端クロックの微動装置を操作し、柱の上下端各二ヶ所に取り付けた1/100mm精度のダイヤルゲージの読みが、所定の値にならうようにした。

実験結果および考察

使用したそれぞれの鋼板について素材引張試験を行ない、荷重-ひずみ曲線をX-Yレコーダーで記録した。実験柱の断面内に発生すると想定されるひずみの大きさは、その最大値で降伏ひずみの3倍程度であり、この範囲内での素材引張試験結果から得た応力-ひずみ曲線は完全弾塑性に近いものであった。残留応力測定結果の一例を図2に示す。分布の形状、大きさ等は、鋼種の違いにより大差ないものであった。この結果、柱の圧縮強度に影響すると考えられる圧縮残留応力の、降伏応力に対する比は、材の降伏応力の大きさにAシリーズの試験体では13~14%であるのに對し、これが小さいBシリーズでは26~30%程度である。実験鋼材、細長比、偏心量を変化させた24本の柱の試験

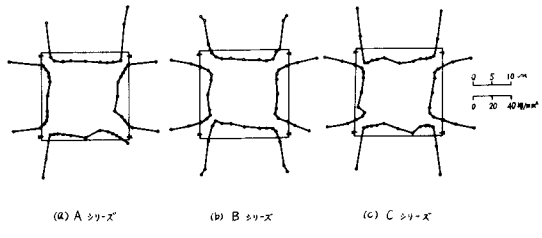


図1 残留応力分布

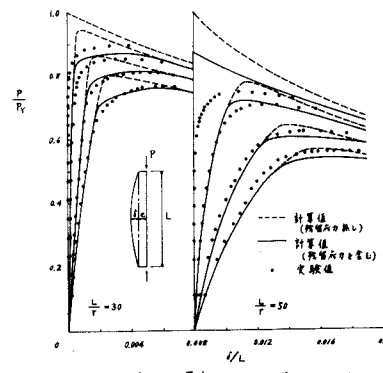


図2 荷重-たわみ曲線 (A39-X)

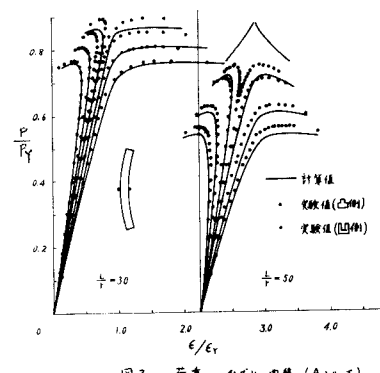


図3 荷重-たわみ曲線 (A39-X)

の結果得られた最大荷重を表1に示す。実験の結果得られたAシリーズの柱8本の柱中央線での荷重一たわみ関係、および圧縮縁、引張縁双方での荷重一ひずみ関係とそれぞれ図2、図31に示す。

弾塑性柱の解析 弾塑性柱の解析を厳密に行なうことは非常に困難であるが、従来種々の仮定のもとにいくつかの計算法が試みられてきた。ここでは一般によく用いられるものと同様、次の仮定を設けた。
①曲げにともひずみは直線分布する。
②材の応力一ひずみ曲線は完全弾塑性曲線となる。
③与えられた、軸力、及び曲げモーメントの組合せに対し、唯一つの曲率が対応する。したがつて柱の変形は最終的な釣合状態のみによって定まる。
④残留応力の分布は断面の両主軸に対して対称であり、板厚方向、柱軸方向には変化しない。これらの仮定をもとに、柱を軸方向に有限個の要素に分割し、各分割断面での釣合式および柱両端での境界条件が同時に満たされるような各断面毎のひずみ分布を見出す。このひずみを断面内で積分することにより求められた軸力、及び曲げモーメントから計算される変位と、軸力との関係をプロットすることにより柱の荷重一たわみ曲線を得ることが出来る。断面力の積分に当つては測定結果をもとでモデル化した残留応力を計算に含めた。

計算との比較 柱中央点における、荷重一たわみ曲線、及び圧縮縁、引張縁双方の荷重一ひずみ曲線の計算値と実験値と比較するため、Aシリーズについての計算結果を図2、図3中に実線、実線で画いた。実線は残留応力を有する柱についての計算結果、実線は残留応力を含まない柱についての計算結果である。細長比の異なる二種の柱の荷重一たわみ曲線には大きな差が見られる。即ち、細長比の小さい柱では残留応力の影響により柱に部合形状が生じた後も偏心量に向かわざなく荷重の増加が見られながら偏心量の大きい柱では中心圧縮に近くなるにつれ、部合形状により弾性曲線からはずれた後の降荷が速やかである。従つて何らかの不完全性が存在することによる部合形状によって、細長比が小さい場合に比し、その最高荷重は大きな影響を受けるであろう。計算による曲線と実験値とは、一次的には比較的よく一致しておりこのような計算を行なうことによって、柱の耐荷力を推定することが可能と思われる。計算により求められた各柱の最高荷重を降伏荷重により無次元化した値を表1に示す。実験値と残留応力を含む場合の計算値との比 P_r^e/P_r はいずれか1に近く、細長比の大きい柱の中心圧縮柱がやや大きな誤差を示す地は、よく一致している。次に、残留応力の影響を含む場合と、含まない場合の計算値の比 P_r^e/P_r^0 は残留応力の影響の程度を示す。この値が小さい程残留応力の影響は大きいと考えられる。この値を比較すると同種の鋼材を用いた柱では、①同一の細長比の場合偏心量の小さい程残留応力の影響を大きく受けた。②柱長に対する同一の割合の偏心量では細長比の大きい方、即ち標準化された細長比が上に進むの方の影響を大きく受けた。又、使用鋼材の異なるA、B両シリーズの比較では、全般にBシリーズの方が残留応力の影響を大きく受けている。これは前述の如く、降伏応力の小さいBシリーズでは残留応力の降伏応力に対する割合が相対的に大きいことが一因であると考えられる。なお上に述べた傾向は偏心量と柱の長さに対する同一の割合で変化させた場合に対するものであることに注意する必要がある。一般に柱に含まれる種々の不完全性についても同様にあてはまると言えてよい。

設計基準との比較 鋼種の異なる各シリーズの柱の実験結果を同一の座屈曲線上で比較するため細長比に $\frac{1}{\pi} \sqrt{\frac{F_y}{E}}$ を標準化パラメーターを乗じたものを横軸にとった座屈曲線を図4に示す。同図上に米国 Column Research Council の残留応力を含む柱の基準強度曲線、又、設計公式として、

我が國の鋼鉄道橋設計示方書案^{*} (1968)、DIN 4114 (独 1952)。

AISC Spec. (米 1963) による許容応力の曲線を示す。ハイドリットの H シリーズについては降伏荷重を断面積で除したものと便宜的に降伏応力 σ_y として標準化した値を示す。偏心をとり除いた柱の耐力低下は残留応力の影響が支配的と考えられるが、各グループの最高莫で示された中心圧縮柱の実験結果は、CRC 曲線とより一致を示す。柱の長さに対し同一割合の偏心量の変化に応じた耐力低下は、降伏応力の大きい柱より小さい柱で、細長比の大きい柱より大きい柱で大きくなっているのが見られる。各柱の実験による最高荷重を示す莫の総座標と、各々の柱と同一の細長比に対する各設計基準の許容応力曲線の総座標との比を、設計との安全率として表 2 に示す。鋼鉄道橋の新設計示方書案についての安全率を見ると、中心圧縮の柱では、細長比の

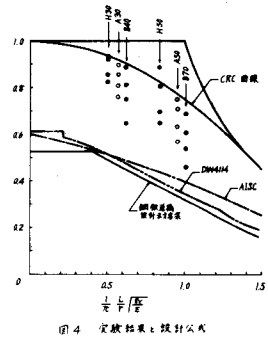


図 4 実験結果と設計公式

見ると、中心圧縮の柱では、細長比の大きい柱に比べ細長比の長い柱の方が安全率に余裕があるが、偏心量が増加するに従って両者の安全率の差はなくなり $E/L = 0.005$ の場合にはほぼ同程度となる。DIN 4114 でも同じことが言える。これに対し AISC の場合は、偏心量が少ない柱で細長比の違いによる安全率の差が小さくなり、偏心量の増加に伴って、細長比の大きい柱の安全率に余裕がなくなっている。このように細長比の違いによる安全率のバランスを考慮すれば、柱に含まれると考えられる偏心の如き不完全性の大きさとの限度により、細長比に応じてすべき安全率の大きさも大きいに左左される。即ち不完全性が比較的小さいときには細長比に応じて安全率をより大きく変える必要はないが、不完全性が大きいときには細長比の大きい方で大きな安全率を見込むべきであると思われる。各々鋼鉄道橋示方書案、DIN 4114、AISC の各々の基準の安全率 1.9、1.71、1.67 を確保するためにには概ね偏心量と柱の長さの半分の一以下におけることを必要のあることが表 2 により明らかである。

表 2 安全率

column number	Factor of Safety			column number	Factor of Safety		
	By Spec.	DIN	AISC		By Spec.	DIN	AISC
A30-0	1.92	1.82	1.79	A50-0	2.25	2.09	1.84
A30-1	1.83	1.73	1.71	A50-1	2.12	1.97	1.73
A30-3	1.74	1.64	1.62	A50-3	1.87	1.74	1.53
A30-5	1.64	1.56	1.54	A50-5	1.67	1.57	1.38
B40-0	1.97	1.86	1.83	B70-0	2.19	1.99	1.73
B40-1	1.80	1.70	1.66	B70-1	1.93	1.76	1.53
B40-3	1.67	1.58	1.55	B70-3	1.71	1.55	1.35
B40-5	1.45	1.37	1.34	B70-5	1.43	1.31	1.14
H30-0	1.90	1.82	1.82	H50-0	2.38	2.23	2.02
H30-1	1.87	1.80	1.80	H50-1	2.16	2.02	1.84
H30-3	1.74	1.67	1.67	H50-3	1.87	1.75	1.60
H30-5	1.68	1.61	1.61	H50-5	1.74	1.63	1.48

* 日本学会「新高張力鋼を用いた鋼鉄道橋設計および製作示方書」に関する研究報告
昭和 43 年度。